

©1995 г.

## ПОЛЯРИЗАЦИОННО-ЗАВИСИМАЯ ФОТОПРОВОДИМОСТЬ В ОДНООСНО-ДЕФОРМИРОВАННЫХ УЗКОЩЕЛЕВЫХ ПОЛУПРОВОДНИКАХ

*Ф.Т.Васько, С.Г.Гасан-заде, М.В.Стриха, Г.А.Шепельский*

Институт физики полупроводников Академии наук Украины,  
252650, Киев, Украина  
(Получена 2 августа 1994 г. Принята 5 октября 1994 г.)

Обнаружены и интерпретированы индуцированные одноосной упругой деформацией поляризационно-зависящие изменения спектральных характеристик фотопроводимости в узкощелевых полупроводниках InSb и  $Cd_xHg_{1-x}Te$ . Указанные изменения обусловлены различием в правилах отбора для оптических переходов из состояний валентной зоны, расщепленной деформацией, в зону проводимости.

Измерения энергетического спектра, межзонных оптических переходов и коэффициентов поглощения в полупроводниках при одноосной упругой деформации проводились в большом числе работ [1,2]. Однако, они по-прежнему остаются актуальными [3]. Это связано с применением в оптоэлектронике тонких упруго-напряженных полупроводниковых слоев и, кроме того, с включением в практику новых полупроводниковых материалов. Например, в узкощелевых полупроводниках (УП), таких как InSb и  $Cd_xHg_{1-x}Te$ , межзональные оптические переходы относятся к среднему и дальнему диапазону инфракрасного (ИК) излучения, который в настоящее время активно осваивается. Важно при этом, что воздействие одноосной упругой деформации на энергетический спектр и оптические переходы оказывается наиболее сильным именно в УП из-за малой ширины запрещенной зоны  $E_g$  и большого отношения эффективных масс тяжелых и легких дырок в исходном кристалле. Кроме того, такие исследования имеют и прикладное значение, поскольку фотоприемники на основе УП обычно функционируют в охлажденном режиме и, как правило, оказываются упруго-напряженными.

Изменение коэффициента поглощения в одноосно-деформированных полупроводниках рассматривалось нами в [4,5]. Показано, что для ИК накачки с продольной ( $\parallel$ ) и поперечной ( $\perp$ ) относительно оси сжатия

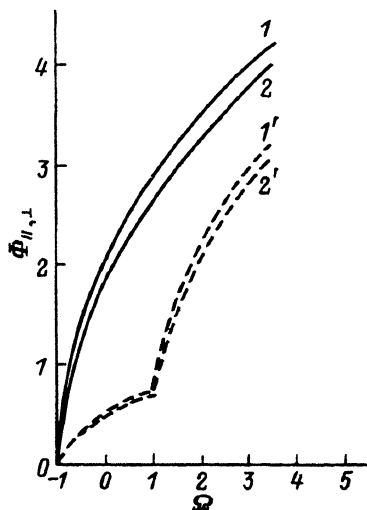


Рис. 1. Расчет спектрального распределения безразмерного коэффициента поглощения  $\Phi$  для двух направлений поляризации в соответствии с формулой (1): 1, 1' — для InSb, 2, 2' — для  $Cd_xHg_{1-x}Te$ ; поляризация: 1, 2 —  $E \parallel P$ , 1', 2' —  $E \perp P$ .

поляризацией излучения коэффициент поглощения  $\alpha$  имеет вид

$$\alpha_{\parallel, \perp}(\omega) = \alpha_0 \Phi_{\parallel, \perp}(\Omega), \quad \Omega = 2(\hbar\omega - \bar{\varepsilon}_g)/\varepsilon_0. \quad (1)$$

$$\alpha_0 = \frac{3}{\pi} \frac{e^2}{\hbar c \sqrt{\kappa}} \frac{\varepsilon_g}{\hbar\omega} \left( \frac{2\varepsilon_0 m_c}{\hbar^2} \right)^{1/2},$$

где  $\varepsilon_g$  — запрещенная зона в недеформированном кристалле,  $m_c$  — эффективная масса электрона, слабо изменяющаяся при одноосной деформации,  $\bar{\varepsilon}_g$  — перенормированная за счет гидростатической компоненты деформации ширина запрещенной зоны,  $\varepsilon_0 = \chi P$  — расщепление валентной зоны в точке  $k = 0$ ,  $\chi$  — коэффициент деформационного расщепления,  $\kappa$  — диэлектрическая проницаемость кристаллической решетки. Безразмерные функции  $\Phi_{\parallel, \perp}(\Omega)$ , рассчитанные для InSb и  $Cd_xHg_{1-x}Te$  согласно [4,5], представленным на рис. 1. Отметим, что ввиду расщепления одноосной компонентной деформации валентной зоны в точке  $\Gamma_8$  на подзоны  $V_+$  и  $V_-$  края фундаментального поглощения этих подзон находятся при энергиях

$$\varepsilon_{\pm} = \bar{\varepsilon}_g \mp \varepsilon_0/2, \quad (2)$$

определеняемых величиной одноосного сжатия  $P$ . При этом переход из верхнего  $V_+$ -состояния в зону проводимости разрешен для обоих направлений поляризации, тогда как переход из состояния  $V_-$  в зону проводимости для продольной поляризации оказывается запрещенным [3–5].

Непосредственное измерение коэффициента поглощения  $\alpha$  вблизи фундаментального края в упруго-деформированном полупроводнике сопряжено со значительными трудностями. Это связано, с одной стороны, с необходимостью создания упругого напряжения в тонких слоях полупроводника, а с другой — со слабой интенсивностью имеющихся источников непрерывного излучения в диапазоне (5–12) мкм. В то

же время имеются фотоэлектрические методы [6], которые позволяют исследовать спектральное распределение коэффициента поглощения в достаточно толстых образцах ( $\alpha d \gg 1$ ),  $d$  — толщина образца. К таким образцам может быть легко приложено одноосное напряжение любой величины, не превышающей предела упругости кристалла. Возможности, которые содержит метод изучения спектральных характеристик фотопроводимости ( $\Phi\pi$ ), основаны на конкуренции объемных и поверхностных рекомбинационных процессов, когда характерные длины этих процессов оказываются сравнимыми с глубиной поглощения ИК излучения (величиной порядка  $\alpha^{-1}$ ). Различие в спектральном распределении  $\alpha$  для двух направлений поляризации (рис. 1) должно приводить в этом случае и к качественным изменениям спектрального распределения  $\Phi\pi$ . В результате, хотя в исследуемом спектральном диапазоне все падающее излучение поглощается в образце, тем не менее спектральная характеристика  $\Phi\pi$  будет отражать особенности коэффициента поглощения. Измерения спектральных характеристик  $\Phi\pi$  использовались, например, для определения в одноосно-деформированном InSb энергетического положения уровня Ландау, которые располагаются значительно выше дна зоны проводимости, т.е. в области достаточно больших  $\alpha$  [7].

Как известно [6], спектральное распределение  $\Phi\pi$  образца толщиной  $d$  с проводимостью  $n$ -типа определяется выражением

$$\Delta\sigma_{\parallel,\perp}(\omega) = \frac{e\mu_n}{d} I_0 \tau \frac{\alpha_{\parallel,\perp} L}{1 - (\alpha_{\parallel,\perp} L)^2} \left[ \frac{1 - \exp(-\alpha_{\parallel,\perp} d)}{\alpha_{\parallel,\perp} L} - \right.$$

$$\left. - \frac{L(1 + \alpha_{\parallel,\perp} L_s)}{L + L_s} \left( 1 - \exp(-d/L) \right) \right], \quad (3)$$

где  $I_0$  — интенсивность падающего на образец излучения,  $\mu_n$  — подвижность электронов,  $\tau$  — время рекомбинации носителей в объеме,  $L$  — диффузионная длина,  $L^2 = D\tau$ ,  $D$  — эффективный биполярный коэффициент диффузии, который для образца  $n$ -типа с  $n \gg p$  близок к коэффициенту диффузии дырок,  $L_s = D/s$  — характерная длина поверхностной рекомбинации,  $s$  — скорость этой рекомбинации.

Спектральная зависимость  $\Phi\pi$  для случая большой скорости поверхностной рекомбинации ( $L_s \ll L$ ) имеет вид кривой с характерным максимумом вблизи края фундаментального поглощения. С ростом коэффициента поглощения уменьшается толщина слоя полупроводника, в котором происходит фотогенерация носителей тока. В результате, поверхностная рекомбинация становится более эффективной, что приводит к уменьшению  $\Phi\pi$  (см. спектральные распределения  $\Phi\pi$  на рис. 2). Здесь большему значению  $\alpha$  для одних и тех же энергий  $\hbar\omega$  соответствует меньшая величина  $\Phi\pi$  (кривая 2). Если  $\alpha$  на какой-либо частоте излучения испытывает резкое изменение (как это происходит при одноосной упругой деформации для энергий, больших  $E_+$ , для по-перечной поляризации), то в спектральной зависимости  $\Phi\pi$  должен возникнуть характерный излом (рис. 2, кривая 3).

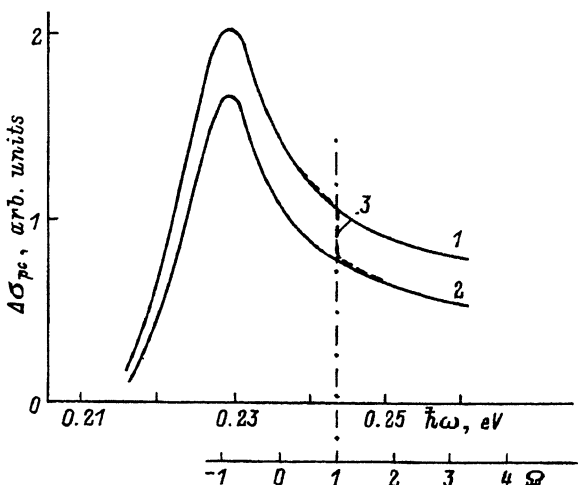


Рис. 2. Схематическое изображение спектрального распределения фотопроводимости  $\Delta\sigma_{pc}$  для двух значений коэффициента поглощения: 1 —  $\alpha_1$ , 2 —  $\alpha_2$ ,  $\alpha_1 < \alpha_2$ . Штриховая линия 3 показывает излом ФП при скачкообразном изменении  $\alpha$ .

Нами исследовалось спектральное распределение ФП в образцах InSb и  $Cd_xHg_{1-x}Te$  в диапазоне упругих деформаций  $P = (0-3)$  кбар. Одноосное сжатие прикладывалось вдоль оси [001]. Были выбраны кристаллы с проводимостью  $n$ -типа, поскольку  $p$ -тип характеризуется значительно большими значениями  $\sigma(\omega)$  вблизи края фундаментального поглощения. Малая концентрация свободных носителей ( $n = (2 \cdot 10^{13} - 10^{14}) \text{ см}^{-3}$  для InSb,  $n = 2.5 \cdot 10^{14} \text{ см}^{-3}$  для  $Cd_xHg_{1-x}Te$ ) позволяет пренебречь эффектами, связанными с поглощением свободными носителями. Последнее может влиять на сигнал ФП при низких температурах.

Исследуемый образец вместе с устройством для одноосного сжатия помещался в гелиевый оптический криостат с регулировкой и стабилизацией температуры в диапазоне (4.2–300) К. Сигнал ФП записывался с помощью ИК спектрометра ИКС-21 с источником излучения — глобаром.

Спектральное распределение ФП образца InSb для поляризованного излучения представлено на рис. 3. Из формулы (3) следует, что отношение  $L/L_s$  можно легко оценить из отношения сигнала ФП в максимуме  $\Delta\sigma_{pc}(\Omega_0)$  и  $\Delta\sigma_{pc}(\Omega_\infty)$  при больших энергиях квантов излучения

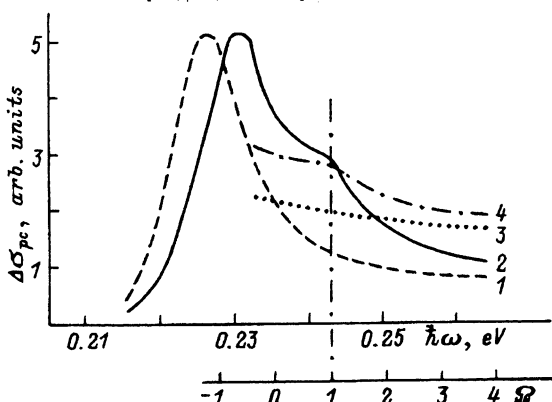


Рис. 3. Спектральные характеристики фотопроводимости  $\Delta\sigma_{pc}$  в одноосно-напряженном InSb ( $n = 3.8 \cdot 10^{14} \text{ см}^{-3}$ ,  $\mu_n = 5.1 \times 10^5 \text{ см}^2/\text{В}\cdot\text{с}$ ) для двух направлений поляризации; 1, 2 — экспериментальные зависимости, 3, 4 — расчет; поляризация: 1, 3 —  $E \parallel P$ , 2, 4 —  $E \perp P$ ,  $T = 40$  К,  $P = 2.5$  кбар.

$$L/L_s = \Delta\sigma_{pc}(\Omega_0)/\Delta\sigma_{pc}(\Omega_\infty). \quad (4)$$

В исследуемом образце InSb в отсутствие деформации  $L/L_s = 8 \div 9$  и это соотношение слабо изменяется в диапазоне температур  $T = (20 \div 78)$  К. При таком большом отношении  $L/L_s$  должна реализовываться высокая чувствительность зависимости  $\Delta\sigma_{pc}(\Omega)$  к структуре спектра  $\alpha(\Omega)$ .

Обращают на себя внимание две особенности в спектральных характеристиках ФП деформированного InSb. С увеличением деформации происходит смещение максимума  $\Delta\sigma_{pc}$  для поляризации  $E \perp P$  в коротковолновую сторону. Кроме того, с высокоэнергетической стороны от максимума для поляризации  $E \perp P$  отчетливо проявляется особенность сигнала ФП в виде ступеньки, которая при увеличении давления  $P$  смещается в сторону более высоких энергий. Для поляризации  $E \parallel P$  такая структура отсутствует. Поэтому можно уверенно связать наблюданную особенность с краем фундаментального поглощения для переходов из состояний  $V_-$  в зону проводимости. Из рис. 3 легко определить значения  $\chi = (8.4 \pm 1)$  мэВ/кбар. Это значение хорошо соответствует имеющимся в литературе данным  $\chi = 9$  мэВ/кбар [6].

Из-за наличия хвоста фундаментального поглощения для InSb формулу (1), полученную в представлении идеальной модели Кейна, необходимо модифицировать, используя при подстановке в выражение (2)  $\tilde{\alpha}_{\parallel,\perp} = \alpha_{\parallel,\perp} + \alpha^*$ . Здесь  $\tilde{\alpha}_{\parallel,\perp}$  — реальное значение коэффициента поглощения,  $\alpha^*$  — независящий от поляризации дополнительный вклад, который в узкой области вблизи  $\Omega = +1$  считаем константой. Вид теоретической кривой  $\Delta\sigma_{pc}(\Omega)$  в InSb, рассчитанной по формуле (2) с учетом  $L = 2 \cdot 10^{-2}$  см для значения  $\alpha^* = 5$  см<sup>-1</sup>, изображен на рис. 2. При этом подгонка обеих теоретических кривых проводилась по соответствуанию теоретического и экспериментального значений  $\Delta\sigma_{pc}(\Omega)$  при

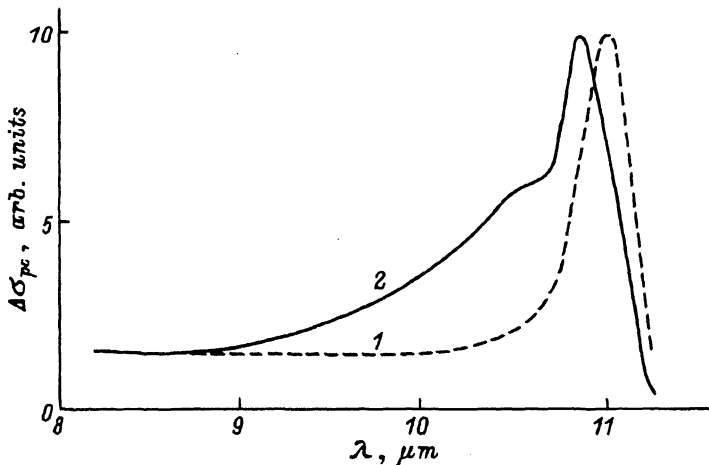


Рис. 4. Спектральные характеристики фотопроводимости  $\Delta\sigma_{pc}$  для одноосно-напряженного образца  $Cd_xHg_{1-x}Te$  ( $x = 0.215$ ,  $n = 4.5 \cdot 10^{14}$  см<sup>-3</sup>,  $\mu_n = 2.7 \cdot 10^5$  см<sup>2</sup>/В·с).  $T = 4.2$  К,  $P = 2.7$  кбар; поляризация: 1 —  $E \parallel P$ , 2 —  $E \perp P$ .

$E \perp P$  в точке  $\Omega = +1$ . Как видно из рисунка, использованные соотношения удовлетворительно объясняют качественные особенности эксперимента. Более пологий ход теоретических кривых объясняется упрощенностью приближений, в рамках которых получена зависимость (3).

В  $Cd_xHg_{1-x}Te$  по крайней мере в диапазоне температур (4.2–80) К также проявляется поляризационная зависимость спектрального распределения ФП при одноосной деформации. При этом характерная ступенька для поляризации  $E \perp P$  (рис. 4, кривая 2) оказывается более размытой. Последней может объясняться меньшей однородностью по толщине кристалла  $Cd_xHg_{1-x}Te$  по сравнению с InSb. Тем не менее численное значение коэффициента  $\chi$ , определяемое из спектрального распределения ФП, оказывается равным  $10.2 \pm 12$  мэВ/кбар, что неплохо согласуется с известным из литературы значением  $\chi = 12$  мэВ/кбар [8].

Таким образом, обнаружены и интерпретированы индуцированные одноосной деформацией поляризационно-чувствительные изменения спектрального распределения фотопроводимости, обусловленные различием правил отбора для переходов  $V_{\pm} \rightarrow$  [зона проводимости]. Измерения проляризационно-чувствительной ФП могут представлять значительный интерес для идентификации механических напряжений в тонких слоях и пленках, применяемых оптоэлектронике, и для определения величины таких напряжений.

Авторы благодарны Государственному фонду фундаментальных исследований ГКНТ Украины и Американскому физическому обществу за частичную поддержку этой работы.

#### Список литературы

- [1] Г.Л. Бир, Г.Е. Пикус. *Симметрия и деформационные эффекты в полупроводниках* (М., Наука, 1972).
- [2] C.V. Higginbotham, M. Cardona, F.H. Pollak. Phys. Rev., **184**, 821 (1969).
- [3] F.H. Pollak. Semicond. Semimet., **32**, 17 (1990).
- [4] Ф.Т. Васько, М.В. Стриха. ФТП, **24**, 1227 (1990).
- [5] Ф.Т. Васько, Б.И. Песецкий, М.В. Стриха. УФХ, **35**, 1201 (1993).
- [6] T.S. Moss. Rep. Progr. Phys., **28**, 15 (1985).
- [7] А.С. Александров, А.Н. Куллямзин, А.П. Менушенков, Е.А. Протасов, Н.А. Толокнов, П.А. Черемных. ФТП, **11**, 1167 (1977).
- [8] Ф.В. Германенко, Г.М. Миньков, О.Э. Рут. ФТП, **21**, 2008 (1987).

Редактор Т.А. Полянская

Polarization-dependent photoconductivity in uniaxially deformed narrow-gap semiconductors

F.V. Vas'ko, S.G. Gasan-zade, M.V. Strikha, G.A. Shepelshy

Institute of Semiconductor Physics, Ukrainian Academy of Sciences, 252650, Kiev, the Ukraine